

بررسی آزمایشگاهی مدل‌های ترکیبی سکو، شبیجاتی و شکاف در کاهش فرسایش بستر پایه‌های پل رودخانه‌ای

نازیلا کاردان^۱، حبیب حکیم زاده^{۲*}، یوسف حسن زاده^۳

۱- استادیار دانشکده فنی مهندسی، گروه مهندسی عمران، دانشگاه شهید مدنی آذربایجان

۲- استاد دانشکده مهندسی عمران، دانشگاه صنعتی سهند

۳- استاد دانشکده مهندسی عمران، دانشگاه تبریز

hakimzadeh@sut.ac.ir

تاریخ پذیرش: ۹۳/۰۶/۲۲

تاریخ دریافت: ۹۲/۱۱/۰۸

چکیده - در این مقاله نتایج آزمایش ۱۲ مدل پایه پل مرکب برای کاهش عمق آبستنگی، در شرایط آب زلال ارائه شده است. گروه‌های آزمایشی به ترتیب عبارتند از (۱) پایه سکوبی و پایه نیمه مخروطی (۲) ترکیب پایه سکوبی با مقاطع نیمه مخروطی با قطر متغیر در بستر (۳) ترکیب پایه سکوبی با مقاطع نیمه مخروطی با قطر ثابت در بستر و (۴) ترکیب گروه سوم با شکاف ذوزنقه‌ای. در پایه سکوبی کاهش قابل توجه عمق آبستنگی (تا حد ۴۶ درصد) نسبت به پایه استوانه‌ای مرجع مشاهده شد. این کاهش در مقاطع نیمه مخروطی نیز وجود داشته لیکن مقدار آن بسیار کمتر از پایه سکوبی است. در مدل پایه‌های گروه دوم، پایه مرکب نیمه مخروطی با شبیب ۲ درجه، کمترین فرسایش بستر را نسبت به دو مدل دیگر داشته است. در این مدل عرض سکو بزرگتر و قطر پایه در تراز بستر نیز کمتر است. در این گروه، عمق آبستنگی نسبت به مدل پایه سکوبی افزایش داشته است لیکن مقدار آن نسبت به پایه استوانه‌ای مرجع کاهش یافته است. در مدل پایه‌های گروه سوم، با ثابت نگه داشتن قطر پایه در عمق بستر، کاهش بسیار اندازی در عمق آبستنگی مشاهده شده است. از این رو در پایه‌های مرکب نیمه مخروطی، افزایش قطر پایه در تراز بستر، تشکیل فرسایش بستر را به همراه داشته است. در گروه چهارم نیز اعمال شکاف در پایه‌های مرکب، نقش موثری در افزایش نقش محافظتی آن‌ها نداشته است. بنابراین در مجموع می‌توان نتیجه گرفت تاثیر مدل پایه سکوبی در کاهش عمق آبستنگی به مراتب بیشتر از سایر پایه‌ها بوده و ترکیب ابزارهای مختلف بازدارنده فرسایش بستر، نمی‌تواند در تمامی موارد تاثیر مثبتی در کاهش عمق آبستنگی داشته باشد. در تمامی مدل‌ها مقایسه بیشینه عمق آبستنگی، نسبت به پایه استوانه‌ای مرجع و پایه سکوبی انجام گرفته است.

واژگان کلیدی: پایه پل، مدل ترکیبی، سکو، پایه نیمه مخروطی، شکاف.

که این جریان به بستر وارد می‌کند، به وجود می‌آید.

سازوکار این پدیده بگونه‌ای است که قبل از خرابی سازه در اثر نیروهای مخرب سیل، فرسایش اطراف پایه موجب

آبستنگی پدیده‌ای است که در اثر فرسایش بستر به وسیله‌ی جریان آب و حمل مواد بستر به وسیله‌ی نیرویی

مخروطی شکل را بررسی نمودند. ایشان اعلام کردند با افزایش شبیه جانبی و کنترل گرداهای نعل اسپی، از شدت آبشنستگی نسبی کاسته می‌شود. بوزکوس و یلدز (۲۰۰۴) نیز به بررسی تاثیر شبیه جانبی پایه‌های پل در کاهش آبشنستگی موضعی پیرامون آن‌ها پرداختند. نتیجه مطالعات ایشان نشان داد با کاهش قطر پایه در نزدیکی سطح آب، از فرسایش نسبی بستر پیرامون آن کاسته می‌شود. پور احمدی (۲۰۱۱) با جایگزینی پایه‌های مخروطی و هرمی شکل با پایه‌های استوانه‌ای، کاهش بسیار کمی در بیشینه عمق آبشنستگی مشاهده نمود. ایشان دلیل این مساله را افزایش قطر روی بستر و تاثیر دیوارهای جانبی بیان کردند. مهرزاد (۲۰۱۲) پایه‌های شبیدار با چهار زاویه ۶، ۳ و ۹ و ۱۲ درجه را مورد آزمایش قرار داده و به نتایج مشابهی با پور احمدی (۲۰۱۱) دست یافت.

چاپرت و اینگلدنگر (۱۹۵۶) اثر شکل‌های مختلف پایه و سکو را بر روی آبشنستگی موضعی بررسی نمودند. نتایج آزمایش‌ها نشان داد قرارگیری پایه ستون‌ها در زیر تراز بستر، موجب کاهش عمق آبشنستگی موضعی می‌شود. لارسن و تاج (۱۹۵۶) نیز با انجام پژوهش آزمایشگاهی به نتایجی مشابه با چاپرت و اینگلدنگر دست یافتند. استرلینگ جونز و همکاران (۱۹۹۲) با انجام آزمایش‌هایی به بررسی اثر اندازه و ارتفاع پایه ستون‌ها بر روی آبشنستگی موضعی اطراف پایه‌های پل در شرایط آب زلال پرداختند. نتایج به دست آمده نشان داد با قرارگیری پایه ستون در ترازی هم سطح و یا پایین‌تر از سطح بستر، از میزان آبشنستگی موضعی کاسته می‌شود. این کاهش تا قرارگیری کمتر از ۲۵٪ پایه ستون در معرض جریان مشاهده شد. همچنین ملویل (۱۹۹۳) در مورد به کارگیری پایه ستون‌ها این گونه بیان کرده است که در طراحی پایه‌های پل‌ها سعی می‌شود تا حد امکان نسبت اندازه بعدی از پایه پل که در

آسیب سازه پل می‌شود. به طور کلی برخورد جریان به پایه و جدا شدن آن از پایه پل دو عامل اصلی در ایجاد آبشنستگی در پیرامون پایه می‌باشد. برخورد جریان به پایه، گرداهه نعل اسپی را شکل داده و جدایش جریان از پایه، تشدید تنفس برشی و تشکیل گرداههای برخاستی را پدید می‌آورد. پژوهشگران مختلف مانند لارسن و تاج (۱۹۵۶)، شن و اشنایدر (۱۹۷۹)، ملویل (۱۹۷۵)، بروسز و رادکیوی (۱۹۸۹)، درگاهی (۱۹۹۱) و گراف و استیارتون (۲۰۰۲) مطالعات آزمایشگاهی بسیاری را برای شناخت این پدیده انجام داده‌اند.

در سال‌های اخیر ابزارهای مختلفی برای کنترل فرسایش بستر و آبشنستگی مورد پژوهش قرار گرفته‌اند که از مهم‌ترین آن‌ها می‌توان به طوق و شکاف اشاره نمود. در این پژوهش، با توجه به نکات ضعف و قوت این ابزارها، استفاده از مدل ترکیبی پایه نیمه مخروطی، سکو و شکاف به عنوان یک ایده نو در کاهش آبشنستگی موضعی ارائه شده است. در ادامه به بررسی مطالعات انجام گرفته در خصوص پایه‌های مخروطی، پایه‌های سکودار و نیز پایه‌های شکافدار پرداخته شده است. بروسز و رادکیوی (۱۹۹۱) طبق مطالعات آزمایشگاهی گستردۀ خود گزارش نمودند استفاده از پایه‌هایی که در جهت بالا دارای افزایش قطر هستند موجب افزایش عمق آبشنستگی و استفاده از پایه‌های با قطر کم در نزدیکی سطح آب موجب کاهش فرسایش پیرامون آن‌ها می‌شود. سامر و همکاران (۱۹۹۴) نتیجۀ این پژوهش می‌گویند که در جهت بالا دارای افزایش عمق آبشنستگی باشند. در این پژوهش پایه مخروطی با سه شبیه ۰، ۴۵ و ۶۰ درجه را اندازه‌گیری نمودند. ایشان به این نتیجه رسیدند که گرداهه نعل اسپی در حالت پایه شبیدار نیز تشکیل می‌شود لیکن طول و شدت آن کاهش می‌یابد. در ادامه مطالعات سال ۱۹۹۴، فردسو و سامر (۱۹۹۷)، تاثیر شبیه جانبی در کاهش عمق آبشنستگی اطراف موج شکن قائم و سازه

شیب جانبی به صورت جداگانه بررسی شد. سپس ترکیب سکو با شیب جانبی (شیب‌های ۵ و ۱۳ درجه) در دو حالت قطر ثابت و قطر متغیر در بستر آزمایش شده‌اند. در ادامه به منظور افزایش درصد کاهش عمق آبستنگی، شکاف ذوزنقه‌ای به پایه‌های مرکب اعمال شده است. هدف از مطالعه حاضر و ترکیب سه ابزار فوق، بررسی تاثیر دو پارامتر مهم وقوع آبستنگی (۱) جریان رو به پایین و تشکیل گردابه نعل اسیبی در بالادست پایه و (۲) جدایش جریان و تشدید تنش برشی در بستر است.

۲- مواد و روش‌ها

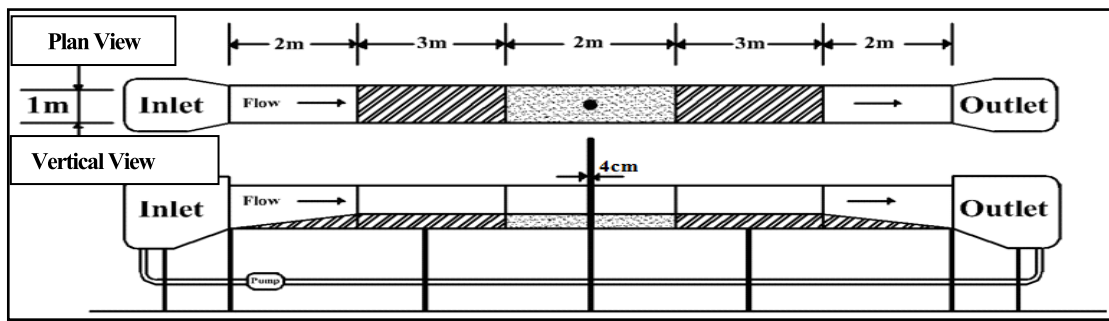
۱-۱- تجهیزات آزمایشگاهی

کلیه بررسی‌های آزمایشگاهی در کanalی به طول ۱۲ متر، عرض ۱ متر و ارتفاع ۰/۸۵ متر صورت گرفته است. دیواره کanal از جنس پلکسی گلاس به ضخامت ۱۰ میلی‌متر و کف آن از صفحه فلزی است. برای ملایم کردن جریان آب با الهام گرفتن از کanal آزمایشگاهی ژنگ و همکاران (۲۰۱۰) در بالادست و پایین‌دست قسمت ورودی، سکوهاي برای جلوگیری از تغييرات ناگهانی عمق جریان با استفاده از ورق‌های فلزی به طول ۳ متر و عرض ۱ متر و ضخامت ۱سانسی متر تعبيه شده است. ناحيه انجام آزمایش‌ها در فاصله ۶ متری از بالادست کanal قرار داشته و به طول ۲ متر و عمق ۲۰ سانتی متر است (شکل ۱).

بستر شبيه‌سازی شده، به وسیله‌ی مصالح غير چسبينده ماسه‌ای با قطر متوسط ۰/۷۲ میلی‌متر، انحراف معیار ۱/۳، زاویه ایستائی ۳۴ درجه و چگالی نسبی برابر با ۲/۶۵ پر شده است. به منظور توسعه‌یافتنگی جریان در ناحیه آزمایش، سکوی بالادست با استفاده از مصالح درشت دانه پوشانده شده است تا از هرگونه فرسایش موضعی در اثر تغيير زبری جلوگیری شود.

مقابل جريان قرار می‌گيرد به طول کلي پایه، کاهش يابد. اينده استفاده از شکاف در پایه‌های پل برای اولين بار به وسیله‌ی چيو در سال ۱۹۹۲ ارائه شد. چيو آزمایش‌های خود را با پایه استوانه‌ای و در دو حالت شکاف نزديک بستر و نزديک سطح آب، انجام داده و نشان داد که ارتفاع شکاف مهم‌ترین پارامتر در کاهش عمق آبستنگی است. شکاف مهم‌ترین پارامتر در کاهش عمق آبستنگی کومار و همکاران (۱۹۹۹) پژوهشی را به منظور تعیين ميزان اثر شکاف با ارتفاع و زواياي مختلف نسبت به جریان، در کاهش عمق آبستنگی موضعی انجام دادند. با بررسی نتایج معلوم شد با افزایش ارتفاع شکاف، از عمق آبستنگی کاسته می‌شود همچنان با افزایش زاويه برخورد جریان به پایه پل، بر ميزان آبستنگی موضعی افزوده می‌شود. كيريسن (۲۰۰۹) تاثير شکاف مستطيلي برای پایه پل دوكى شكل را مورد بررسی قرار داد.

نادری بنی (۱۳۸۰) استفاده از شکاف قائم مستطيلي را برای كتrel و کاهش آبستنگی موضعی در پایه‌های پل بررسی نمود. در اين پژوهش پایه پل با مقطع مستطيلي گردگوشه مورد آزمایش قرار گرفت. حيدرپور (۱۳۸۶) شکاف‌هاي با دو ارتفاع يك و دو برابر قطر پایه را در پایه‌هاي با مقطع دائري و مستطيلي گردگوشه بررسی نمود. آقاخانی افتخار (۱۳۸۹) با انجام آزمایش‌هاي به بررسی اثر شکاف پایه و ارتفاع آن بر روی آبستنگی موضعی اطراف پایه پل با مقطع دائري در شرایط آب زلال پرداخت. آزمایش‌ها، عملکرد مفید شکاف پایه پل را در کاهش آبستنگی موضعی اطراف پایه نشان دادند. کارдан و همکاران (۱۳۹۳) با مطالعه عددی تنش‌های برشی در پيرامون پایه‌های پل با مقاطع مختلف، نشان دادند استفاده از شکاف موجب کاهش مقدار بحراني اين تنش‌ها می‌شود. در پژوهش حاضر ترکيب سکو با شیب جانبی، در پایه‌هاي پل مورد مطالعه قرار گرفته است. در ابتدا ابزار سکو و



شکل (۱) طرح کلی از کanal آزمایشگاهی

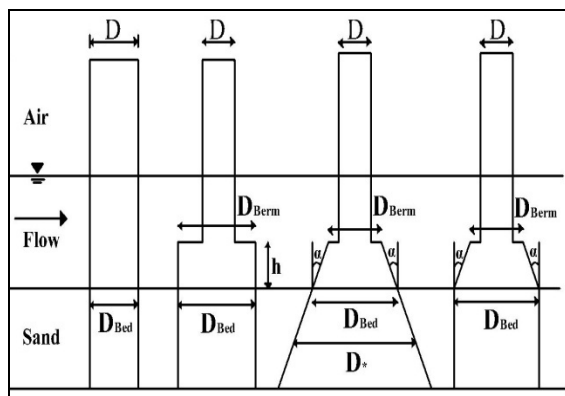
بزرگتر از ۲۵ باشد، اندازه ذرات بستر بر عمق آبستتگی بی تاثیر خواهد بود که این محدوده در همه مدل ها رعایت شده است. اندازه نسبی دانه ها برای کوچکترین قطر پایه (۴ سانتی متر)، $55/5$ است.

ملویل و چیو (۱۹۹۹) بیشینه عمق آبستتگی را برابر $2/5 D_{Bed}$ عنوان کردند. برای بیشینه قطر پایه در محل بستر برای پایه های نیمه مخروطی، ضخامت بستر باید بیش از ۱۵ سانتی متر باشد که با احتساب افزایش احتمالی آن، ضخامت بستر 20 سانتی متر انتخاب شده است. پدیده آبستتگی موضعی، فرآیندی است تابع زمان و با گذشت زمان گسترش پیدا کرده و به حالت تعادلی می رسد. ملویل و چیو (۱۹۹۹) و دی و همکاران (۱۹۹۵) گسترش زمانی آبستتگی را وابسته به شرایط جریان، هندسه و پارامترهای رسوب دانسته اند. ملویل و چیو (۱۹۹۹) و نیز شپرد و همکاران (۲۰۰۴) زمان رسیدن به تعادل را زمانی تعریف نمودند که میزان تغییرات عمق آبستتگی موضعی در دوره ای 24 ساعته کمتر از 5 درصد قطر پایه شود. اتما (۱۹۸۰) زمان رسیدن به تعادل در آبستتگی را اینگونه تعریف نمود که در طی یک دوره زمانی چهار ساعته، افزایش عمق آبستتگی بیشتر از یک میلی متر نشود. طبق تعریف کومار و همکاران (۱۹۹۹) نیز زمان تعادل آبستتگی عبارت است از مدت زمانی از آغاز آزمایش که پس از آن تغییرات عمق آبستتگی در یک دوره سه ساعته بیشتر از

کanal آزمایش به وسیله پمپی با بیشینه دبی 75 لیتر بر ثانیه تغذیه می شود. برای برداشت عمق و توپوگرافی فرایش بستر پیرامون پایه از دستگاه لیزری برداشت پروفیل رسوب با دقت $0/5$ میلی متر استفاده شده است.

برای جلوگیری از اثر جانبی دیواره های کanal روی آبستتگی موضعی، عرض متوسط پایه 4 سانتیمتر و بیشینه قطر پایه در محل بستر 7 سانتیمتر در نظر گرفته شده است. سایر قطر ها در محدود 4 الى 7 سانتی متر قرار می گیرند. برای انتخاب بیشینه قطر پایه، معیارهای مختلفی مانند $D_{Bed} / W \leq 0/1$ (ملویل، ۱۹۹۷)، $D_{Bed} / W \leq 0/16$ (رادکیوی و اتمان، ۱۹۸۳)، $D_{Bed} / W \leq 0/15$ (شپرد و همکاران، ۲۰۰۴) و $D_{Bed} / W \leq 0/12$ (عطایی آشتیانی و بهشتی، ۲۰۰۶) در نظر گرفته شده اند. W عرض کanal و D_{Bed} قطر پایه در محل بستر می باشد. در پژوهش حاضر این نسبت برابر $0/07$ انتخاب شده است تا تمامی معیارهای بالا برآورده شوند. طبق نظر رادکیوی (۱۹۹۸) برای شرایط آزمایشگاهی، عمق نسبی (h / D_{Bed}) باید بزرگتر از 3 انتخاب شود. ملویل و ساترلند (۱۹۸۸) این نسبت را مساوی $2/6$ بیان نموده اند. در این مطالعه، با توجه به بیشینه قطر پایه $7CM$ ، عمق جریان 20 سانتی متر انتخاب شده است. بر طبق نظر ملویل و ساترلند (۱۹۸۸) و رادکیوی (۱۹۹۸) اگر اندازه نسبی دانه ها (نسبت قطر پایه به اندازه میانگین ذرات)

هدف از بررسی گروه پایه‌های اول، بررسی دو پارامتر جریان رو به پایین در بالادست پایه (پایه سکویی) و تنش برشی و جدایش جریان در دو طرف پایه (پایه نیمه مخروطی) است. در گروه پایه‌های دوم، مدل ترکیبی سکو و شب جانبی پایه، بررسی شده است. در این گروه، مدل پایه‌ها در دو حالت آزمایش شده‌اند. در حالت اول شب جانبی پایه‌ها تا تراز کف کanal ادامه داشته و پایه‌ها دارای قطر متغیر در ارتفاع بستر است. در حالت دوم شب پایه تنها تا تراز بستر امتداد یافته و قطر پایه از تراز بستر تا کف کanal ثابت است (شکل ۳). در هر دو حالت سه شب جانبی (α) ۰.۵ و ۱.۳ درجه، مطابق شکل، بررسی شده است. در شکل (۳)، D_* قطر پایه در محل وقوع بیشینه عمق آبشتستگی تعریف شده است. گروه چهارم بررسی مدل ترکیبی گروه سوم با شکاف ذوزنقه‌ای است.



شکل (۳) مدل پایه‌های پل سکودار و نیمه مخروطی و موقعیت آن‌ها

نسبت به تراز بستر و تراز آب

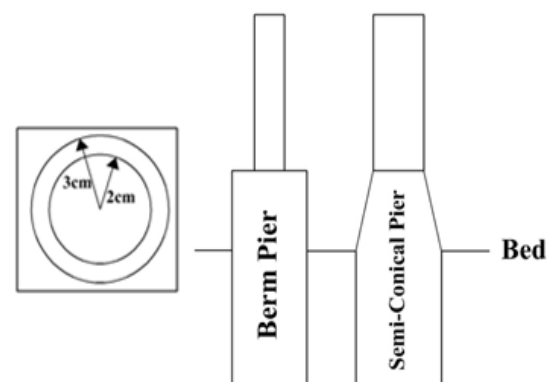
۳- جزئیات آزمایش

برای رسیدن به بیشینه عمق آبشتستگی در شرایط آب زلال، تمام آزمایش‌ها تحت شدت جریان ۰/۹۲ انجام شدند. با توجه به پروفیل سرعت آزمایشگاهی، سرعت برشی (V_c)

یک میلی‌متر نباشد. در این پژوهش مدت زمان انجام آزمایش‌ها، برابر معیار کومار و همکاران (۱۹۹۹) انتخاب شده است. در این راستا آزمایش‌های مقدماتی تا ۴۸ ساعت ادامه یافته و نشان داده شد زمان ۲۴-۳۵ ساعت، برای رسیدن به شرایط تعادلی کافی است.

۲-۲- مدل پایه‌های پل

در این پژوهش مدل‌های مطالعاتی در چهار گروه کلی مورد بررسی قرار می‌گیرند. در گروه اول پایه‌های پل استوانه‌ای، سکویی و پایه نیمه مخروطی مورد بررسی قرار گرفته‌اند. مدل پایه استوانه‌ای با مقطع دایره‌ای دارای قطر ۴ cm و ارتفاع ۵.۰ cm است. برای سکوی پایه، ارتفاع ۶ cm، با توجه به روابط ارائه شده در پژوهش‌های مختلف، انتخاب شده است. بیرون آمدگی عرض پایه در قسمت سکو ۱ cm از طرفین پایه بوده که با توجه به عرض ۴ cm پایه ساده، عرض پایه در محل سکو ۶ cm می‌شود با توجه به عرض انسداد افزایش یافته در محل سکوی پایه، ابعاد پایه نیمه مخروطی به گونه‌ای تعیین شده است تا عرض انسداد برای این پایه، مساوی پایه سکویی شود. ارتفاع مقطع نیمه مخروطی ۷/۲ cm و قطرهای آن به ترتیب مساوی ۶ cm در محل بستر و ۴ cm در بالا است (شکل ۲).



شکل (۲) مدل ترکیبی پایه استوانه‌ای، سکو و شب جانبی

$$r_{de}(\%) = \frac{d_{s0} - d_s}{d_{s0}} \times 100 \quad (1)$$

که d_s و d_{s0} به ترتیب بیشینه عمق آبستگی تعادلی برای پایه استوانه‌ای ساده و سایر مدل‌های ترکیبی است.

مساودی m/s و میانگین سرعت (V) برابر m/s به دست آمده است. سرعت برشی بحرانی (V_c) نیز از دیاگرام شیلدز مساودی m/s حاصل شده است. جدول (۱) جزئیات شرایط آزمایش‌ها را نشان می‌دهد.

۵- نتایج آزمایش‌ها و بحث

۱- پایه‌های استوانه‌ای، سکویی، نیمه مخروطی

در پژوهش حاضر به منظور دستیابی به بیشینه عمق آبستگی، تمام آزمایش‌ها در شرایط آب زلال انجام گرفته‌اند. جزئیات مدل پایه‌های پل در جدول (۲) ارائه شده است. برای پایه‌های دایره‌ای ساده، سکویی و نیمه مخروطی نتایج آزمایش‌ها ۳۵ ساعته در حالت بی بعد شده در شکل (۴) و مقادیر مطلق آن در جدول (۳) ارائه شده است.

۴- درصد کارائی مدل‌های ترکیبی

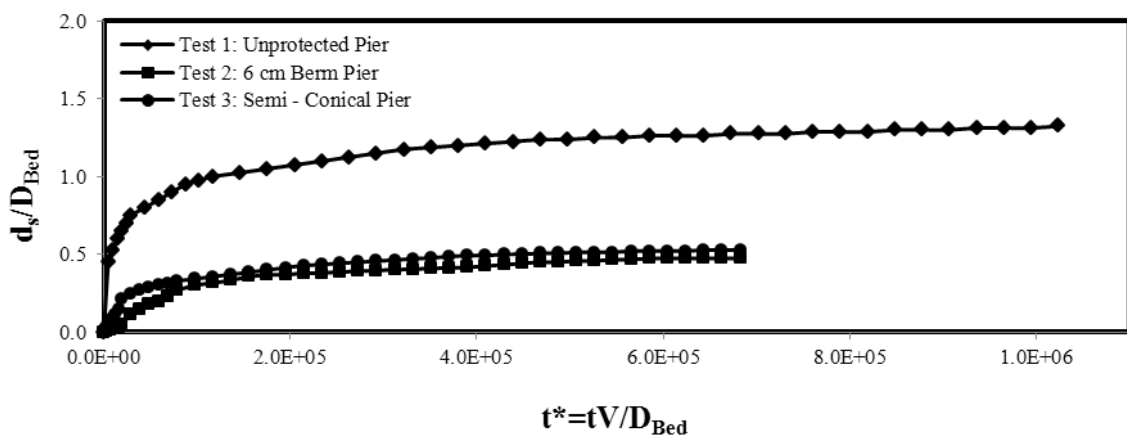
بیشینه مقدار عمق آبستگی تعادلی برای پایه استوانه‌ای ساده، در بالادست پایه رخ می‌دهد. برای سایر مدل پایه‌های ترکیبی نیز بیشینه عمق آبستگی در بالادست پایه مشاهده شده است (Tafarojnoruz, et al.). بنابراین کارایی هر ابزار مورد استفاده برای کاهش عمق آبستگی (r_{de}) به صورت کاهش بیشینه عمق آبستگی تعادلی در بالادست پایه تعریف می‌شود:

جدول (۱) جزئیات آزمایش

(Fr)	عدد فرود	مدت زمان آزمایشات (hr)	θ_{cr}	عدد شیلدز بحرانی (hr)	V/V_c	میانگین سرعت جریان (m/s)	دبی جریان (lit/s)	پارامتر
۰/۲۳۲	۳۵	۰/۰۳۱	۰/۹۲	۰/۳۲۵	۶۵	مقدار		

جدول (۲) جزئیات مدل پایه‌های پل

V/V_c	h (mm)	D_* (mm)	D_{Berm} (mm)	D_{Bed} (mm)	α (deg)	مدل پایه	شماره آزمایش	گروه آزمایش
۰/۹۲	---	۴۰	---	۴۰	۰	پایه استوانه‌ای	۱	A
۰/۹۲	۶۰	۶۰	۶۰	۶۰	۰	سکویی ۶ سانتیمتری	۲	
۰/۹۲	۷۲	۸۲/۲	---	۶۰	۹	نیمه مخروطی	۳	
۰/۹۲	۶۰	۶۴/۳۸	۵۸	۶۲	۲	سکو با پایه نیمه مخروطی ۲ درجه با قطر متغیر در بستر ماسه‌ای	۴	
۰/۹۲	۶۰	۷۲/۱۶	۵۵	۶۵	۵	سکو با پایه نیمه مخروطی ۵ درجه با قطر متغیر در بستر ماسه‌ای	۵	
۰/۹۲	۶۰	۸۵	۵۰	۷۰	۱۳	سکو با پایه نیمه مخروطی ۱۳ درجه با قطر متغیر در بستر ماسه‌ای	۶	
۰/۹۲	۶۰	۶۲	۵۸	۶۲	۲	سکو با پایه نیمه مخروطی ۲ درجه با قطر ثابت در بستر ماسه‌ای	۷	B
۰/۹۲	۶۰	۶۵	۵۵	۶۵	۵	سکو با پایه نیمه مخروطی ۵ درجه با قطر ثابت در بستر ماسه‌ای	۸	
۰/۹۲	۶۰	۷۰	۵۰	۷۰	۱۳	سکو با پایه نیمه مخروطی ۱۳ درجه با قطر ثابت در بستر ماسه‌ای	۹	
۰/۹۲	۶۰	۶۲	۵۸	۶۲	۲	سکو با پایه نیمه مخروطی ۲ درجه با قطر ثابت و شکاف میانی	۱۰	D
۰/۹۲	۶۰	۶۵	۵۵	۶۵	۵	سکو با پایه نیمه مخروطی ۵ درجه با قطر ثابت و شکاف میانی	۱۱	
۰/۹۲	۶۰	۷۰	۵۰	۷۰	۱۳	سکو با پایه نیمه مخروطی ۱۳ درجه با قطر ثابت و شکاف میانی	۱۲	



شکل (۴) تغییرات عمق آبشنستگی ۳۵ ساعته برای مدل پایه‌های گروه اول

۲-۵- پایه‌های نیمه مخروطی با قطر متغیر در بستر ماسه‌ای

با توجه به تاثیر مثبت سکو و شیب جانبی در کاهش فرسایش بستر، در ادامه مدل ترکیبی سکو با شیب جانبی، در دو حالت مورد بررسی قرار گرفته است. همان‌گونه که در جدول (۲) ارائه شده است، با افزایش شیب جانبی، از عرض سکو کاسته شده است تا تاثیر سکو و شیب در کنترل جت‌های رو به پایین تعیین شود. در تمامی مدل‌ها سطح مقطع پایه در قسمت سکو، ثابت بوده و برابر ۱۲ سانتی‌متر مربع در نظر گرفته شده است. پس با تغییر شیب، عرض پایه در محل سکو و نیز در محل بستر تغییر یافته است.

در حالت اول، قطر پایه در داخل بستر، به صورت متغیر است تا تاثیر افزایش قطر پایه بر تشدید تنش برشی و افزایش ابعاد حفره آبشنسته مورد بررسی قرار گیرد. در این مدل از پایه‌ها، با توجه به تغییرات قطر پایه در عمق بستر، تاثیر دو پارامتر جت جریان رو به پایین و جدایش جریان و تشدید تنش برشی بستر به روشنی معلوم می‌شود. شکل (۵) تغییرات زمانی ۳۵ ساعته برای بیشینه عمق آبشنستگی در مقطع بالادست این گروه از پایه‌ها را نشان می‌دهد. در پایه‌های با قطر متغیر در بستر، با افزایش عمق آبشنستگی، بر میزان قطر در معرض جریان نیز افزوده می‌شود.

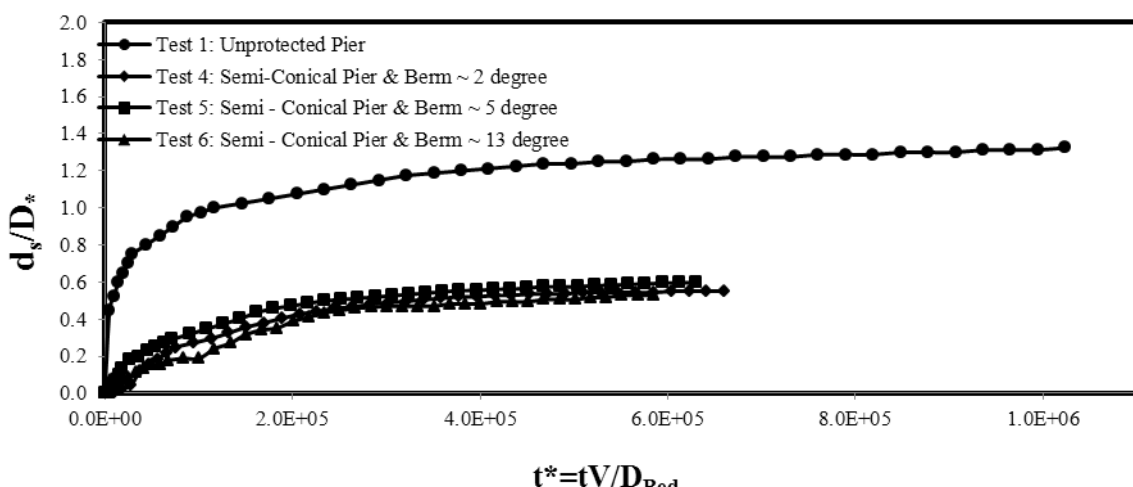
با توجه به شکل (۴)، عمق آبشنستگی برای پایه سکویی کمترین مقدار را داشته است. این کاهش برابر ۴۶ درصد نسبت به پایه استوانه‌ای است. با توجه به وجود سکو در ارتفاع معینی از بستر، از شدت جت جریان رو با پایین که عامل اصلی تشکیل گردابه‌های نعل‌اسبی در وجه بالادست پایه است، کاسته می‌شود. آبشنستگی ایجاد شده در پیرامون پایه نیز ناشی از گردایان سرعت و گردایان فشار رو به پایین در مقطع سکویی پایه است. برای پایه نیمه مخروطی کاهش بیشینه عمق آبشنستگی ۳۰ درصد است که ۱۶ درصد کمتر از پایه سکویی است. به عبارتی در کنترل جریان رو به پایین در بالادست پایه، ابزار سکو موثرتر از شیب جانبی است. همچنین قابل گفتن است به منظور حذف تاثیر عرض انسداد، عرض پایه در محل بستر، برای دو مدل سکویی و نیمه مخروطی مساوی در نظر گرفته شده است.

جدول (۳) نتایج آزمایش‌های پایه‌های استوانه‌ای، سکویی و نیمه مخروطی

r_{de}	d_s / D_{Bed}	$d_s (mm)$	$D_{Bed} (mm)$	شماره آزمایش
---	۱/۳۲۵	۵۳	۴۰	۱
۴۶	۰/۴۷۵	۲۸/۵	۶۰	۲
۳۰	۰/۶۱۶	۳۷	۶۰	۳

رونده افزایش قطر پایه در ارتفاع بستر وجود دارد که ناشی از افزایش ابعاد حفره آبستنگی می‌باشد. پس استفاده از شیب در عمق پایه، نه تنها موجب کاهش عمق آبستنگی نمی‌شود بلکه به دلیل افزایش قطر پایه در عمق بستر، افزایش عرض انسداد و به دنبال آن تشدید تنش برشی در وجوده جانبی پایه، موجب افزایش عمق آبستنگی می‌شود. شکل (۶) فرسایش بستر پیرامون مدل پایه‌های این گروه را پس از اتمام آزمایش‌ها نشان می‌دهد. مشاهدات آزمایشگاهی نشان می‌دهد در مقطع نیمه مخروطی با شیب ۱۳ درجه، گرچه بلندشدن ذرات بستر در بالادست پایه کم است (به دلیل کاهش گردابه‌های نعل اسبی)، لیکن شدت فرسایش آن در کناره‌های پایه بسیار شدید است.

جدول (۴) نتایج به دست آمده برای پایه‌های یاد شده را نشان می‌دهد. برای پایه‌ی نیمه مخروطی با شیب ۲ درجه، عمق آبستنگی برابر ۳۳ میلی‌متر حاصل شده است. این کاهش عمق گرچه در مقایسه با پایه استونه‌ای بسیار مطلوب است، لیکن ۷ میلی‌متر بیشتر از عمق آبستنگی پایه سکویی است. افزایش عمق آبستنگی در این مدل نسبت به مدل پایه سکویی ناشی از دو عامل کاهش قطر پایه در محل سکو و افزایش قطر پایه در محل بستر است. همچنین در سایر مدل‌های نیمه مخروطی افزایش عمق آبستنگی نسبت به پایه سکویی مشاهده می‌شود. در مدل‌های نیمه مخروطی ۵ و ۱۳ درجه نیز افزایش عمق آبستنگی به دلیل کاهش قطر سکو و افزایش قطر پایه در تراز بستر می‌باشد.



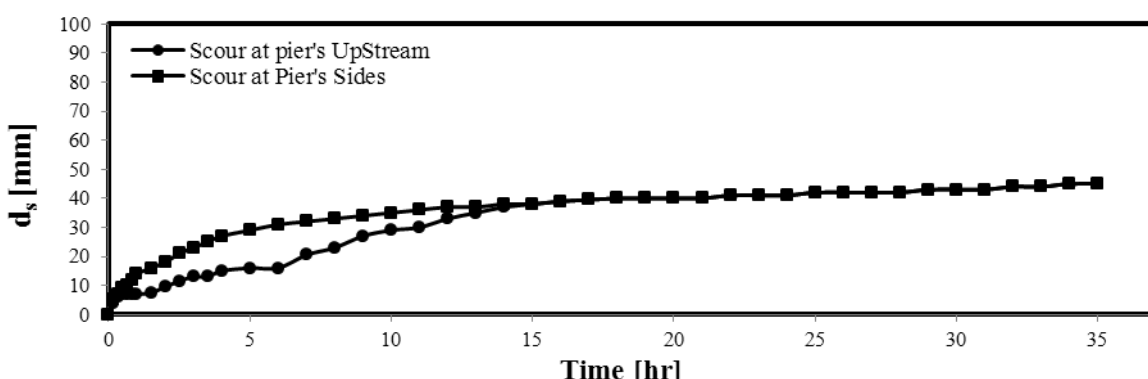
شکل (۵) تغییرات ۳۵ ساعته عمق آبستنگی نسبی برای مدل‌های مرکب نیمه مخروطی (d_s / D_*)

جدول (۴) نتایج آزمایش‌های ۳۵ ساعته برای مدل‌های مرکب متغیر در عمق

	r_{de}	کاهش فرسایش بستر نسبت به پایه سکویی	d_s / D_*	$d_s (mm)$	$D_* (mm)$	$D_{Berm} (mm)$	$D_{Bed} (mm)$	α	شماره آزمایش
---	---	---	۱/۳۲۵	۵۳	۴۰	---	۴۰	۰	۱
---	۴۶	۰/۴۷۵	۲۸/۵	۶۰	۶۰	۶۰	۶۰	۰	۲
- ۲۴	۳۳	۰/۰۵۱	۳۵/۵	۶۴/۳۸	۵۸	۶۲	۶۲	۲	۴
- ۵۰	۱۹	۰/۰۹۵	۴۳	۷۲/۱۶	۵۵	۶۵	۶۵	۵	۵
- ۵۷	۱۵	۰/۰۲۹	۴۵	۸۵	۵۰	۷۰	۷۰	۱۳	۶



شکل (۶) فرسایش ۳۵ ساعته بستر برای مدل‌های نیمه مخروطی با قطر متغیر در بستر



شکل (۷) تغییرات ۳۵ ساعته عمق آبشستگی در بالادست و جنابین پایه برای مدل مرکب نیمه مخروطی ۱۳ درجه

به عبارتی با افزایش عمق آبشستگی، عرض انسداد ثابت بوده و برابر با عرض انسداد اولیه (در تراز بستر) خواهد بود. با انجام این آزمایش تاثیر شیب بالادست پایه در کنترل جت‌های رو به پایین و نیز تاثیر عرض انسداد در تشدید آبشستگی به روشنی معلوم می‌شود. در این گروه از مدل پایه‌ها نیز، سطح مقطع پایه در قسمت سکو مساوی ۱۲ سانتی‌متر مربع است. مقادیر مطلق و نسبی بیشینه عمق آبشستگی برای مدل‌های یاد شده در جدول (۵) ارائه شده است. مقایسه مقادیر مطلق نشان می‌دهد عمق آبشستگی در مدل‌های نیمه مخروطی با قطر ثابت در عمق بستر، نسبت به مدل‌های با قطر متغیر کاهش یافته است. همچنین روند کاهش بیشینه عمق آبشستگی نسبت به پایه استوانه‌ای مرجع نیز مشاهده می‌شود.

به عنوان نمونه، ۱ ساعت پس از آغاز آزمایش، عمق فرسایش در بالادست پایه ۷ میلی‌متر و در کناره پایه ۱۵ میلی‌متر است. با افزایش عمق حفره آبشستگی و افزایش قطر پایه، فرسایش بستر در کناره‌های پایه تشدید شده و به سمت بالادست پایه کشیده می‌شود که نتیجه آن افزایش عمق آبشستگی در مقطع بالادست پایه است. پس از گذشت حدود ۱۴ ساعت از آغاز آزمایش، عمق حفره آبشستگی در بالادست و کناره‌های پایه تقریباً مساوی می‌شود (شکل ۷).

۵-۳-پایه‌های نیمه مخروطی با قطر ثابت در عمق بستر

در حالت دوم آزمایش‌ها، قطر پایه در ارتفاع سکو متغیر بوده و بعد از تراز بستر، قطر پایه ثابت نگه داشته می‌شود.

پایه‌ها در دو حالت قطر ثابت و قطر متغیر در بستر، افزایش قطر پایه موجب افزایش تنش‌های برشی شده و فرسایش بستر نسبت به سایر مدل‌ها تشدید شده است. پس در مقایسه دو ابزار سکو شیب جانبی معلوم می‌شود ابزار سکو بهتر از شیب جانبی عمل نموده است. در مدل‌های مرکب نیمه مخروطی، گرچه جریان رو با پایین و گردابه‌های نعل اسیب در مقطع بالادست پایه، تا حدودی کترول می‌شود لیکن افزایش عرض انسداد ناشی شده از شیب جانبی پایه، موجب تشدید فرسایش بستر می‌گشود. شکل (۸) فرسایش بستر ۳۵ ساعته برای این گروه از پایه‌ها را نشان می‌دهد.

۴- پایه‌های نیمه مخروطی با قطر ثابت در بستر و شکاف میانی ذوزنقه‌ای

در ادامه به منظور افزایش کارایی مدل پایه‌های پل مرکب نیمه مخروطی، ترکیب آن‌ها با شکاف ذوزنقه‌ای میانی مورد مطالعه قرار گرفته است.

در این گروه از مدل پایه‌ها، ثابت ماندن عرض سکو و کاهش قطر پایه در عمق بستر موجب کاهش جدایش جریان و کاهش فرسایش بستر شده است. در مدل مرکب نیمه مخروطی ۱۳ درجه بیشینه عمق آبستگی ۴۰/۵ میلی‌متر است که نسبت به مدل نیمه مخروطی متغیر ۴/۵ میلی‌متر کاهش یافته است. مقدار این کاهش برای مدل‌های ۵ و ۲ درجه به ترتیب مساوی ۷ و ۵ میلی‌متر است. در این گروه از مدل‌ها نیز با افزایش شیب جانبی، عمق آبستگی افزایش یافته است.

بنابراین می‌توان نتیجه گرفت کاهش عرض پایه در عمق بستر، موجب کاهش عمق آبستگی می‌شود. در پایه مرکب نیمه مخروطی ۱۳ درجه، شیب جانبی در بالادست پایه زیاد است و انتظار می‌رود با کاهش جریان رو به پایین و گردابه‌های نعل اسیب از شدت فرسایش بستر کاسته شود. لیکن نتایج به دست آمده نشان می‌دهد عمق آبستگی بستر در این مدل از پایه، بیشتر از سایر مدل‌ها است. در این مدل از

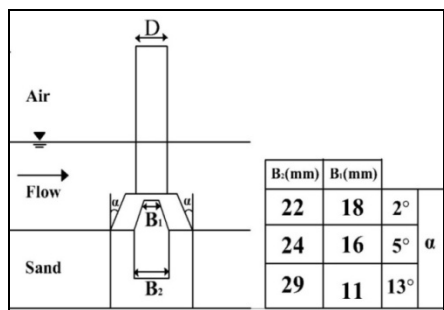
جدول (۵) نتایج آزمایشات ۳۵ ساعته برای مدل‌های مرکب نیمه مخروطی با قطر ثابت در بستر

شماره آزمایش	α	$D_{Bed} (mm)$	$D_{Berm} (mm)$	$D_* (mm)$	$d_s (mm)$	d_s / D_*	r_{de}	کاهش فرسایش بستر نسبت به پایه سکویی
۱	۰	۴۰	---	۴۰	۵۲	۱/۳۲۵	---	---
۲	۰	۶۰	۶۰	۶۰	۲۸/۵	۰/۴۷۵	۴۶/۲	---
۷	۲	۶۲	۵۸	۶۲	۳۰/۵	۰/۴۹۱	۴۲/۴	---
۸	۵	۶۵	۵۵	۶۵	۳۷	۰/۵۶۹	۳۰/۲	-۳۰
۹	۱۳	۷۰	۵۰	۷۰	۴۰/۵	۰/۵۷۸	۲۳/۶	-۴۲



شکل (۸) فرسایش بستر ۳۵ ساعته برای مدل‌های نیمه مخروطی با قطر ثابت در بستر

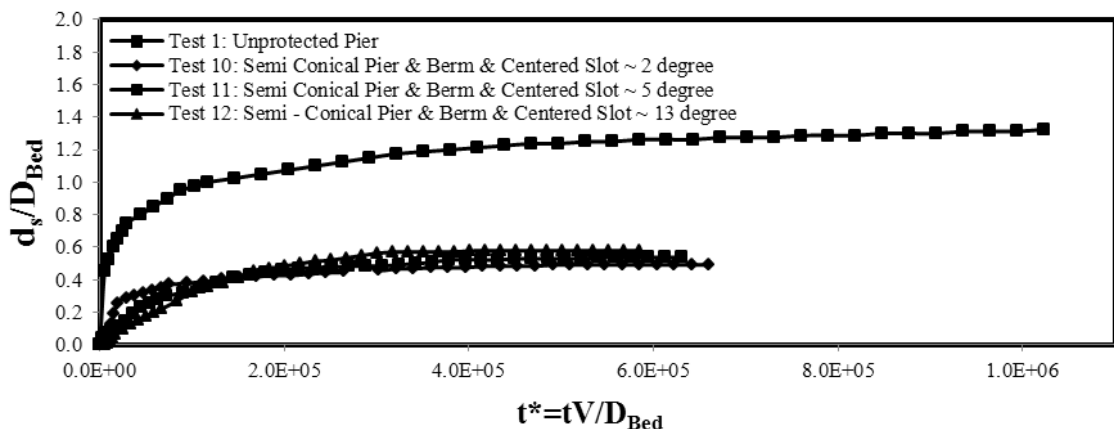
آبشنستگی تنها در لحظات شروع آزمایش مشاهده شده و بعد گذشت حدود ۱۲ ساعت تغییرات آن به کمترین می‌رسد. همان‌گونه که در شکل معلوم است مقادیر بی بعد شده d_s برای سه مدل نیمه مخروطی مرکب، نزدیک به هم بوده و تفاوت زیادی میان آن‌ها مشاهده نمی‌شود. لیکن برای مقایسه دقیق‌تر مدل‌ها، مقادیر مطلق d_s در جدول (۶) ارائه شده است.



شکل (۹) مشخصات مدل پایه‌های مرکب نیمه مخروطی با شکاف میانی

هدف استفاده از شکاف میانی، منحرف نمودن جریان‌های رو به پایین در مقطع بالا دست پایه می‌باشد. با توجه به اهمیت کنترل جریان رو به پایین و عدم برخورد آن به بستر بالا دست پایه، هدف استفاده از شکاف‌های ذوزنقه‌ای، افزایش عرض عبوری جریان‌های انحرافی در نزدیکی بستر است.

در تمامی مدل‌ها، سطح مقطع شکاف ثابت بوده و مساوی ۱۰ سانتی‌متر مربع (به عرض ۲ سانتی‌متر و ارتفاع ۵ سانتی‌متر بالای تراز بستر) است. شکاف‌ها تا ارتفاع ۷ سانتی‌متری در زیر تراز بستر امتداد یافته‌اند. مشخصات مدل پایه‌های شکاف‌دار در شکل (۹) ارائه شده است. همچنین شکل (۱۰) تغییرات زمانی بیشینه عمق آبشنستگی در مقطع بالا دست پایه برای این گروه از مدل‌ها را نمایش می‌دهد. مقادیر بی بعد شده عمق آبشنستگی نسبت به D_{Bed} در شکل ارائه شده است. با توجه به شکل، تغییرات عمق



شکل (۱۰) تغییرات ۳۵ ساعته عمق آبشنستگی نسبی برای مدل‌های مرکب نیمه مخروطی با شکاف میانی

جدول (۶) نتایج آزمایشات ۳۵ ساعته برای مدل‌های مرکب نیمه مخروطی با شکاف میانی

r_{de}	d_s / D_*	$d_s (mm)$	$D_* (mm)$	$D_{Berm} (mm)$	$D_{Bed} (mm)$	$D (mm)$	α	شماره آزمایش
---	1/۳۲۵	۵۳	۴۰	---	۴۰	۴۰	۰	۱
۴۶/۲۲	۰/۴۷۵	۲۸/۵	۶۰	۶۰	۶۰	۴۰	۰	۲
۴۱/۵	۰/۵	۳۱	۶۲	۵۸	۶۲	۴۰	۲	۱۰
۳۰/۱	۰/۵۷	۳۷	۶۵	۵۵	۶۵	۴۰	۵	۱۱
۲۲/۶	۰/۵۸	۴۱	۷۰	۵۰	۷۰	۴۰	۱۳	۱۲

موثری در کاهش فرسایش بستر نداشته است. در پایه‌های شیب‌دار گرچه افزایش شیب جانبی در بالادست پایه موجب کنترل جریان‌های رو به پایین و گردابه‌های نعل اسیی می‌شود لیکن افزایش قطر پایه در تراز بستر، افزایش عرض انسداد و تشدید فرسایش بستر را نتیجه می‌دهد.

۶- نتیجه گیری

در پژوهش حاضر ترکیب سکو با شیب جانبی، در پایه‌های پل مورد بررسی قرار گرفته‌اند. در ابتدا ابزار سکو و سپس شیب جانبی به صورت جداگانه بررسی شد. در ادامه ترکیب سکو با شیب جانبی در دو حالت قطر ثابت و قطر متغیر در بستر، مورد آزمایش قرار گرفتند. همچنین به منظور افزایش درصد کاهش عمق آبیستگی، شکاف ذوزنقه‌ای به پایه‌های مرکب اعمال شد. هدف از بررسی حاضر و ترکیب سه ابزار فوق، بررسی تاثیر دو پارامتر اصلی وقوع آبیستگی (۱) جریان رو به پایین و تشكیل گردابه نعل اسیی در بالادست حاصله نشان می‌دهند مدل پایه سکویی بیشتر از مدل پایه نیمه مخروطی در کاهش عمق آبیستگی موثر است. همچنین ترکیب ابزار سکو با شیب جانبی نیز موجب بهبود نتایج و کاهش محسوس در عمق آبیستگی شده است.



شکل (۱۲) تشدید فرسایش بستر در لبه‌های شکاف

با توجه به نتایج جدول بالا، ایجاد بازشدگی در مدل‌های مرکب تاثیری در کاهش بیشینه عمق آبیستگی نداشته است. کاهش فرسایش بستر در پایه‌های شکافدار، در لحظات شروع آزمایش محسوس بوده لیکن با گذشت زمان، رسوبات برخاسته از طرف پایه در پایین دست آن ته نشین شده و موجب گرفتگی شکاف می‌شوند (شکل ۱۱). پس از زمان حدود ۱۵ ساعت از آغاز آزمایش، شکاف کارایی خود را از دست داده و پایه شکافدار رفتاری مشابه پایه بدون شکاف خواهد داشت. در مدل‌های ۱۱ و ۱۲ افزایش نامحسوسی در بیشینه عمق آبیستگی مشاهده می‌شود که این مساله ناشی از تشدید فرسایش بستر در لبه‌های شکاف است (شکل ۱۲).

پس استفاده از شکاف‌های ذوزنقه‌ای و افزایش عرض شکاف در تراز بستر، تاثیر قابل توجهی در انحراف جریان‌های رو به پایین و کاهش فرسایش بستر نداشته است. از سویی دیگر اعمال باز شدگی در نزدیکی بستر موجب کاهش سطح مقطع پایه و ممان اینرسی پایه شده و ضعف‌های سازه‌ای را به همراه دارد. بنابراین استفاده از شکاف نه به لحاظ هیدرولیکی و نه به لحاظ سازه‌ای توصیه نمی‌شود. در مجموع می‌توان بیان نمود عملکرد پایه‌ی سکویی به مراتب بهتر از پایه‌های نیمه مخروطی بوده است. استفاده از شیب جانبی در پایه‌های پل، نقش حفاظتی



شکل (۱۱) تجمع رسوبات در پایین دست پایه و گرفتگی شکاف

- [6] Sumer, B.M., Fredsoe, J., Christiansen, N., and Hensen, S.B., Bed shear stress and scour around coastal structures, Proc. 24th International Coastal Engineering Conference, e. Robert M. Ragan, ed., Kobe, Japan, ASCE, 1994, 1595-1609.
- [7] Fredsoe, J., and Sumer, B.M., Scour at the around head of a rubble-mound break-water, Coast. Eng., 29, 1997.
- [8] Bozkus, F., and Yildiz, O., "Effects of Inclination of Bridge piers on scouring depth", Journal of Hydraulic Engineeringm, ASCE, 130(8), 2004, 827-832.
- [9] Pour Ahmadi, M., Experimental and Numerical Investigation of Local Scour Around Conical and Pyramidal Piers, Master's thesis, Sahand University of Technology, 2011.
- [10] Mehrzad, S., Experimental and Numerical Investigation of the effect of Slotted Conical Piers on Scour Process, Master's thesis, Sahand University of Technology, 2012.
- [11] Chabert, J., & Engeldinger P., Study of Scour at Bridge Piers, Rep., Laboratories National d'Hydraulique, Chatou, France, 1956.
- [12] Laursen, E.M., Toch, A., Scour around bridge piers and abutments. *Iowa Highway Research Board Bulletin*, No. 4, Bureau of Public Roads, Iowa, 1956.
- [13] Sterling Jones, J., Kilgore, R.T., & Mistichelli, M.P., "Effect of Footing Location on Bridge Pier Scour", Journal of Hydraulic Engineering, ASCE, 118(2), 1992, 280-290.
- [14] Melville, B.W., "Discussion of effect of Footing Location on Bridge pier Scour", Journal of Hydraulic Engineering, ASCE, 119(2), 1993, 296-298.
- [15] Chiew, Y. M., " Scour Protection at Bridge Piers", Journal of Hydraulic Engineering, ASCE, 118(9), 1992, 1260-1269.
- [16] Kumar, V., Rang Raju, K.G., & Vittal, N., "Reduction of Local Scour around Bridge piers Using Slot & Collars", Journal of Hydraulic Engineering, ASCE, 125(12), 1999, 1302-1305.
- [17] Christensen, Z.M., Reduction of Local Scour around Bridge Piers: Combined System of Aerofoil and Slot", BS Thesis, Department of Engineering and Surveying, University of Southern Queensland, 2009.
- [18] نادری بنی، م.، کترل و کاهش آبستنگی موضعی در پایه های پل با استفاده از شکاف، پایان نامه کارشناسی ارشد مهندسی آب، دانشکده مهندسی عمران، دانشگاه صنعتی اصفهان، ۱۳۸۰.

در پایه‌های مرکب، استفاده از شیب جانبی گرچه در کترل جریان‌های رو به پایین و گردابه‌های نعل اسبی در مقاطع بالادست پایه، موثر است لیکن افزایش قطر پایه در تراز بستر موجب افزایش تنش‌های برشی و تشدید فرسایش بستر شده است. استفاده از قطر ثابت در عمق بستر نیز تاثیر قابل توجهی در کاهش بیشینه عمق آبستنگی نداشته است. ایجاد بازشدگی در پایه‌های مرکب نیز تنها در لحظات آغازین آزمایش، کاهش عمق آبستنگی را نتیجه داده و بعد از سپری شدن زمان، کارایی آن عملاً از بین رفته است. این مساله به دلیل گرفتگی شکاف ناشی از تجمع رسوبات در پایین دست پایه است.

در جمع‌بندی نتایج این پژوهش می‌توان چنین بیان داشت که تاثیر مدل پایه پل سکویی در کاهش عمق آبستنگی بسیار چشمگیرتر از سایر مدل‌ها بوده و ترکیب ابزارهای مختلف بازدارنده فرسایش بستر، نمی‌تواند در همه موارد تاثیر قابل توجهی در کاهش عمق آبستنگی داشته باشد.

-۷- منابع و مأخذ

- [1] Laursen, E.M., Toch, A., Scour Around Bridge Piers and Abutments, *Iowa Highway Research Board Bulletin*, No. 4, Bureau of Public Roads, Iowa, 1956.
- [2] Shen, H.W., Schneider, V.R., "Local scour Around Bridge Piers", Journal of Hydraulics Division, Proceedings of the American Society of Civil Engineers, 95(6), 1969, 1991-1941.
- [3] Melville, B. W., Local scour at bridge sites, Rep. No. 117, Dept. of Civil Engineering, School of Engrg., Univ. of Auckland, Auckland, New Zealand, 1975.
- [4] Breusers, H.N.C., Rudkivi, A.J., Scouring-Hydraulic Structures Design Manual". IAHR, A.A. Balkema, Rotterdam, Netherland, 1991.
- [5] Dargahi, B., "Controlling Mechanism of Local Scouring", Journal of Hydraulic Engineering, ASCE, 116(10), 1989, 1197-1214.

- [28] Rudkivi, A.J., *Loose Boundary Hydraulics*, 3rd Edition, Rotterdam, Brookfield, 1998, 496-514.
- [29] Melville, B.W., Sutherland A.J. 1988. "Design Method for Local Scour at Bridge Piers", *Journal of Hydraulic Engineering*, ASCE, 114(9): 1210-1226.
- [30] Melville, B.W., & Chiew, Y.M., "Time Scale for Local Scour at Bridge Piers", *Journal of Hydraulic Engineering*, ASCE, 125(1), 1999, 59-65.
- [31] Dey, S., Bose, S.K., & Sastry, G.L.N., "Clear-Water Scour at Circular Piers: A Model ", *Journal of Hydraulic Engineering*, ASCE, 121(12), 1995, 869-876.
- [32] Ettema, R., *Scour at Bridge Piers*, PhD Thesis, Auckland University, Auckland, New Zealand, 1980.
- [33] Tafarojnoruz, A., Gaudio, R., Calomino, F., "Evaluation of flow-altering countermeasures against bridge pier scour", *Journal of Hydraulic Engineering*. In press, 2013.
- [19] حیدرپور، م.، افضلی مهر، ح.، خدارحمی، ز.، "حفظ گروه پایه های استوانه ای پل در برابر آبشنستگی موضعی با استفاده از شکاف"، *مجله علوم کشاورزی و منابع طبیعی*، جلد چهارم، شماره سوم، ۱۳۸۶.
- [20] آفخانی افشار، ح.، "بررسی اثر هندسه شکاف پایه پل و پایه های مجاور بر کاهش آبشنستگی موضعی"، پایان نامه کارشناسی ارشد مهندسی سازه های هیدرولیکی، دانشکده مهندسی عمران، دانشگاه فردوسی مشهد، ۱۳۸۹.
- [21] کاردان، ن.، حسن زاده، ی.، حکیم زاده، ح.، " شبیه سازی عددی سه بعدی پارامترهای هیدرودینامیکی اطراف پایه استوانه ای با استفاده از مدل های آشفتگی مختلف" ، *مجله علوم و مهندسی آبیاری (مجله علوم کشاورزی)*، جلد سی و هفتم، شماره چهارم، زمستان ۹۳.
- [22] Zhang, H., Nakagawa, H., Kawaike, K., and Baba, Y. "Experimetal and simulation of turbulent flow in local scour around spur dyke" . *International Journal of Sediment Research* 24 (1009), 2009, 33-45.
- [23] Rudkivi, A.J., Ettema, R., "Clear-Water Scour at Cylindrical Piers", *Journal of Hydraulic Engineering*, ASCE, 109(3), 1983, 339-350.
- [24] Melville, B.W. 1997. "Pier and abutments scour: Integrated approach". *Journal of Hydraulic Engineering*, ASCE, 123(2): 125-136.
- [25] Sheppard, D.M., Odeh, M., and Glasser, T., "Large scale clear-water local scour experiments", *Journal of Hydraulic Engineering* , ASCE, 130(10), 2004, 957-963.
- [26] Miller, W., Model for the time rate of local sediment scour at cylindrical structure, Phd thesis, university of Florida, 2003.
- [27] Ataie-Ashtiani, B., and Beheshti, A.A., "Experimental investigation of clear-water local scour at pile groups", *Journal of Hydraulic Engineering*, ASCE, 132(10), 2006, 1100-1104.

Abstracts

Experimental Study of Combined models of berm, side slope and slot in decreasing the bed erosion around bridge piers

N. Kardan¹, H. Hakimzadeh^{2*}, Y.Hassanzadeh³

1- Assistant Professor, Department of Civil Engineering, Azarbaijan Shahid madani University, Tabriz, Iran

2- Professor, Faculty of Civil Engineering, Sahand University of Technology, Tabriz, Iran

3- Professor, Faculty of Civil Engineering, University of Tabriz, Tabriz, Iran

hakimzadeh@sut.ac.ir

Abstract:

When a structure is placed on an erodible bed, it causes an increase in local sediment transport capacity and consequently this leads to scour in the vicinity of the structure. This is referred to as local scour in the literature. Local scour has been identified as one of the key factors that cause failure of structures in the bridges, Jetties and offshore platforms. The complexities of bridge scour mechanism have caused the scour is to be one of the most active topics in civil engineering researches. Numerous studies have been reported on local scour around bridge piers in steady currents in the last decades. A majority of these studies deal with laboratory model studies. A brief literature review can reveal the importance of this subject. Several methods have been proposed by researchers to control the scour around the bridge piers. These methods can be divided in two main categories: the first is the armoring method or increasing the resistant of the bed material around the pier as rip rap, and altering of the flow pattern around the pier is the next one. The combined effect of some tools has been studied in recent years. Using just one bed erosion controlling tool does not appear to be adequate in many cases according to conclusions of these studies. On the other hand, combining different tools could not always lead to gain better results than using a single one of these tools.

In this paper, the test results of 12 combined bridge pier models to reduce the maximum scour depth in clear-water condition have been presented. Experimental models are respectively: (1) berm and semi-conical piers, (2) combination of berm and semi-conical piers with variable diameter in the bed, (3) combination of berm and semi-conical piers with fixed diameter in the bed, and (4) combination of third group with trapezoidal centered slot. Significant decrease (up to 46 percent) in scour depth was observed in berm pier with respect to the cylindrical reference pier. This decrease was also observed in semi-conical pier but it was much lower than the berm pier. In the second group, semi-conical combined pier with the side slope angle of 2 degrees of model piers had the least bed erosion in comparison to other two groups. In this model, the width of the berm is larger and diameter of the pier is lower in bed level. Scour depth is increased in comparison to the berm pier model in this group but it is decreased comparing to the cylindrical reference pier. Very slight decrease has been observed in the scour depth of third group model piers by fixing the pier diameter in the bed depth. Hence, increasing the pier diameter in the bed level has intensified the bed erosion in the semi-conical combined piers. Applying slot in the combined piers of third group was ineffective in increasing the protective role of model piers in the fourth group. Therefore, it can be concluded that the effect of berm model pier in decreasing scour depth was far more than other piers and combining different countermeasures for the bed erosion could not have positive influence on decreasing the scour depth in all the cases. The comparison of maximum scour depth has been conducted in all models in relative to cylindrical reference and berm pier.

Keywords: Bridge Pier, Combined Model, Berm, Semi Conical Pier, Slot.